

# Образование в карбиде $TaC_y$ несоразмерной упорядоченной фазы

В. Н. Липатников<sup>1)</sup>, А. А. Ремпель

Институт химии твердого тела Уральского отделения РАН, 620219 Екатеринбург, Россия

Поступила в редакцию 14 февраля 2005 г.

После переработки 1 марта 2005 г.

Методом структурной нейтронографии установлено, что при переходе беспорядок–порядок в нестехиометрическом кубическом карбиде тантала  $TaC_y$  возникает только одна упорядоченная фаза. Она образуется в интервале составов  $TaC_{0.79}$ – $TaC_{0.89}$  в результате длительного отжига с понижением температуры от 1600 до 300 К. Найденная фаза несоразмерна в направлении  $[1\bar{1}1]_{B1}$ , но по взаимному расположению атомов и вакансий в неметаллических плоскостях  $(1\bar{1}1)_{B1}$  близка к соразмерным сверхструктурам типа  $M_6C_5$  (пространственные группы  $C2/m$  и  $P3_1$ ). Канал перехода беспорядок–порядок, связанный с образованием несоразмерной сверхструктуры в карбиде  $TaC_y$ , включает два луча:  $\mathbf{k}_5^{(6)} \approx 0.473\mathbf{b}_2$  и  $\mathbf{k}_5^{(5)} = -\mathbf{k}_5^{(6)}$  звезды  $\{\mathbf{k}_5\}$ , а также лучи звезд  $\{\mathbf{k}_4\}$  и  $\{\mathbf{k}_3\}$ . Период трансляции несоразмерной фазы в направлении  $[1\bar{1}1]_{B1}$  составляет 8.9–9.1 нм, что примерно в 18 раз больше, чем в соразмерной фазе  $M_6C_5$ .

PACS: 61.12.Gz, 61.50.Ks, 61.66.Fn, 61.72.Ji, 64.70.Rh

В системах M–X (M = Ti, Zr, Hf, V, Nb; X = C, N, O), в которых образуются кубические соединения  $MX_y$  ( $MX_y\Box_{1-y}$ , где  $0.5 \leq y \leq 1$ ,  $\Box$  – структурная вакансия) с высокой нестехиометрией неметаллической подрешетки, атомно-вакансационное упорядочение является распространенным явлением [1]. Результаты экспериментальных и теоретических работ, обобщенные в [1, 2], показывают, что при упорядочении нестехиометрических кубических карбидов  $MC_y$  возникают соразмерные сверхструктуры типа  $M_2C$ ,  $M_3C_2$ ,  $M_6C_5$ ,  $M_8C_7$  с разной симметрией. Несоразмерных сверхструктур в карбиообразующих системах M–C переходных  $d$ -металлов IV и V групп (M = Ti, Zr, Hf, V, Nb) до сих пор не находили.

Карбид тантала  $TaC_y$  ( $TaC_y\Box_{1-y}$ ), входящий в группу сильно нестехиометрических соединений [1, 2], является одним из наименее изученных карбидов. Он имеет кубическую структуру  $B1$  и широкую область гомогенности от  $TaC_{0.71}$  до  $TaC_{1.00}$ . Высокая концентрация структурных вакансий  $\Box$  в неметаллической подрешетке  $TaC_y$  является предпосылкой возможного упорядочения этого соединения. В литературе есть сведения о влиянии низкотемпературного отжига на период базисной решетки, магнитную восприимчивость и теплоемкость  $TaC_y$  [3–5], что косвенно свидетельствует о его упорядочении. Изучение карбида  $TaC_{0.83}$  методом дифракции электронов [6] обнаружило диффузную полосу, геометрия которой соответствует упорядочению типа  $M_6C_5$  с малой степенью

порядка. Термодинамический расчет переходов беспорядок–порядок в  $TaC_y$  [7], выполненный методом функционала параметров порядка, показал, что в этом карбиде единственной упорядоченной фазой может быть сверхструктура типа  $M_6C_5$ ; симметрия и соразмерность или несоразмерность возможной сверхструктуры в [7] не обсуждаются.

В данной работе структура упорядоченного карбида тантала экспериментально изучена методами нейтронной и рентгеновской дифракций.

Образцы  $TaC_y$  с разным содержанием углерода ( $0.70 \leq y \leq 1.00$ ) в пределах всей области гомогенности базисной кубической фазы синтезировали твердофазным вакуумным спеканием порошков Та и С при температуре 2000 К. После синтеза образцы подвергали термообработке по трем разным режимам. Режим (a) – закалка от 1900–2000 К со скоростью охлаждения  $\sim 200$  К/мин, – применяли для получения образцов в неупорядоченном состоянии. Режим (b) представлял собой отжиг с понижением температуры от 1600 до 750 К в течение 60 ч, режим (c) – отжиг с более медленным снижением температуры от 1600 до 750 К в течение 120 ч. Режимы (b) и (c) использовали для получения образцов в равновесном упорядоченном состоянии с разной степенью порядка. Предварительную структурную аттестацию проводили рентгеновским методом в  $CuK\alpha_{1,2}$  излучении. Структуру упорядоченной фазы изучали нейтронографическим методом ( $\lambda = 0.1694$  нм) в режиме пошагового сканирования с  $\Delta(2\theta) = 0.1^\circ$  в интервале углов  $2\theta$  от 12 до  $90^\circ$ . Для выявления слабых сверхструктурных отражений на каждом шаге сканиро-

<sup>1)</sup>e-mail: lipatnikov@ihim.uran.ru

вания делалось большое накопление; интенсивность фона составляла около 5000 имп. По этой причине в нейтронографических спектрах присутствуют паразитные рефлексы от излучения с длинами волн  $\lambda/2$  и  $\lambda/3$ , соответствующие структурным отражениям  $(200)_{B1}$ ,  $(220)_{B1}$  и  $(222)_{B1}$ . Интенсивность паразитных рефлексов около 0.5% от интенсивности основных отражений.

Типичные нейтронографические спектры образцов нестехиометрического карбида  $TaC_y$  в интервале углов  $2\theta$  от  $10^\circ$  до структурного отражения  $(200)_{B1}$  показаны на рис.1. Именно в этом интервале наряду со структурным отражением  $(111)_{B1}$  наблюдаются дополнительные отражения. Интенсивность отражения  $(111)_{B1}$  мала и находится на уровне интенсивности сверхструктурных отражений, поскольку она пропорциональна  $(f_{Ta} - f_C)^2$ , а амплитуды атомного рассеяния тантала  $f_{Ta}$  и углерода  $f_C$  близки по величине ( $f_{Ta} = 0.70 \cdot 10^{-12}$  и  $f_C = 0.665 \cdot 10^{-12}$  см). Сверхструктурные отражения с интенсивностью, зависящей от термообработки образцов, наблюдались в спектрах отожженного карбида тантала в интервале составов  $TaC_{0.79} - TaC_{0.89}$ . Слабые сверхструктурные рефлексы наблюдались также для закаленного карбида  $TaC_{0.83}(a)$  (рис.1). По-видимому, скорость закалки 200 К/мин была меньше скорости упорядочения и потому оказалась недостаточна для сохранения неупорядоченного состояния карбида тантала. Рентгеновская дифракция обнаружила, что после отжига период  $a_{B1}$  базисной кубической решетки образцов  $TaC_y$  ( $0.79 \leq y \leq 0.89$ ) несколько вырос. Ранее аналогичный эффект роста периода базисной решетки при упорядочении наблюдали на карбидах  $NbC_y$  [3],  $ThC_y$  [8],  $TiC_y$  [9–11],  $VC_y$  [12].

Сверхструктурные отражения заметно шире, чем структурное отражение  $(111)_{B1}$ ; их интенсивность быстро уменьшается с увеличением угла дифракции  $2\theta$ , и при  $2\theta > 50^\circ$  сверхструктурные отражения практически не наблюдаются. Отсюда следует, что домены упорядоченной фазы карбида тантала много меньше, чем зерна неупорядоченного карбида с базисной структурой  $B1$ . Отмеченные особенности позволяют предположить, что в карбиде  $TaC_y$  даже после продолжительного отжига не образуется структура с идеальным дальним порядком, хотя упорядочение происходит достаточно быстро.

Волновым векторам, ограничивающим первую зону Бриллюэна, на нейтронограмме карбида тантала соответствует интервал углов  $2\theta = 19 - 25^\circ$ . Наличие сверхструктурных отражений в этой области указывает, что в кристалле появляются статистические концентрационные волны с волновыми век-

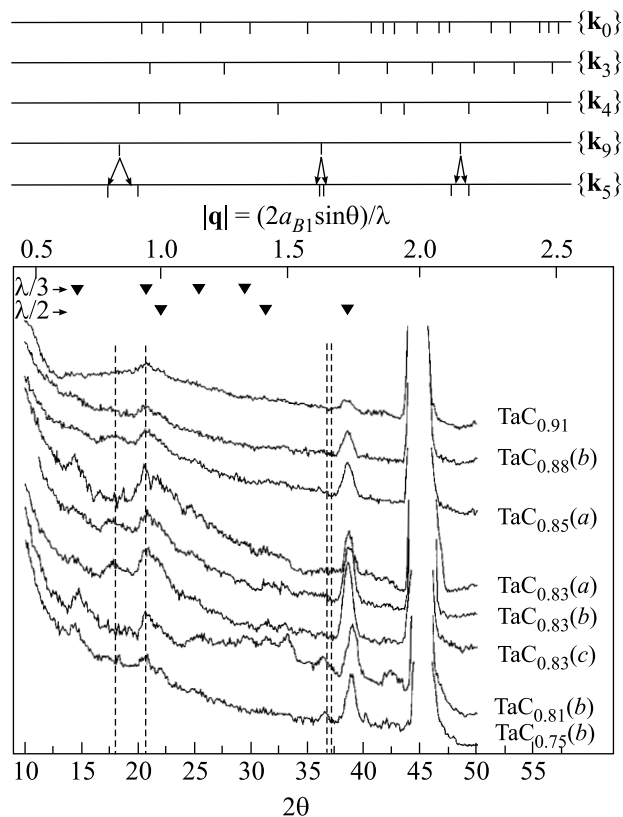


Рис.1. Нейтронограммы карбида тантала  $TaC_y$  в различных структурных состояниях после термообработки по режимам (a), (b) и (c), описанным в тексте. В верхней части рисунка показано положение отражений, обусловленных звездами  $\{k_0\}$ ,  $\{k_3\}$ ,  $\{k_4\}$ ,  $\{k_9\}$  и  $\{k_5\}$ , а также расщепление отражений, соответствующих звезде  $\{k_9\}$  и наблюдаемых в спектрах соразмерных сверхструктур типа  $M_6C_5$ , на экспериментальные сверхструктурные отражения, обусловленные звездой  $\{k_5\}$  (положение в спектрах сверхструктурных отражений, связанных со звездой  $\{k_5\}$ , показано штриховыми линиями). Длина волны нейтронов  $\lambda = 0.1694$  нм; положение отражений рассчитано для карбида тантала  $TaC_y$  с периодом базисной кубической решетки  $a_{B1} = 0.4428$  нм;  $\blacktriangledown$  – положение отражений, обусловленных излучением с длинами волн  $\lambda/2$  и  $\lambda/3$ .

торами, оканчивающимися вблизи границ первой зоны Бриллюэна. Согласно [1, 2], при упорядочении нестехиометрических монокарбидов переходных металлов V группы образуются сверхструктуры  $M_6C_5$  с пространственными группами  $C2/m$ ,  $P3_1$  и  $C2$ . Образование всех этих сверхструктур связано с искашением симметрии базисной решетки по звездам волновых векторов  $\{k_9\}$ ,  $\{k_4\}$  и  $\{k_3\}$ ; в канал перехода беспорядок–порядок, связанного с образованием моноклинной (пр. гр.  $C2$ ) сверхструктуры  $M_6C_5$ , входят также лучи звезды  $\{k_0\}$  (здесь и да-

лее нумерация звезд и их лучей дана в соответствии с [1, 13]). Для этих звезд были рассчитаны положения сверхструктурных отражений; расчет проводился для базисной кубической решетки с периодом  $a_{B1} = 0.4428$  нм, соответствующим карбиду  $\text{TaC}_{0.83}$ . Из сравнения положения рассчитанных и наблюдаемых сверхструктурных отражений следует, что на нейтронограммах есть отражения, обусловленные звездами  $\{\mathbf{k}_4\}$  и  $\{\mathbf{k}_3\}$ , а отражения, связанные со звездой  $\{\mathbf{k}_0\}$ , отсутствуют. Анализ нейтронограмм также показал, что в спектрах упорядоченного карбида  $\text{TaC}_y$  нет отражений в углах  $2\theta = 19.0, 37.0, 49.3, 59.6^\circ$  и др., то есть нет отражений, соответствующих звезде  $\{\mathbf{k}_9\}$  неметаллической ГЦК подрешетки. Эти отражения в дифракционных спектрах  $\text{TaC}_y$  расщепляются на два сверхструктурных отражения (сателлиты), например,  $2\theta \sim 18.0$  и  $\sim 20.5^\circ$  (рис.1).

В неметаллической подрешетке сверхструктурного типа  $M_6C_5$  (пр. гр.  $C2/m, P\bar{3}_1, C2$ ) в направлении  $[1\bar{1}1]_{B1}$  (или в эквивалентных направлениях  $[111]_{B1}, [\bar{1}\bar{1}1]_{B1}$  и  $[1\bar{1}\bar{1}]_{B1}$ , в зависимости от ориентации элементарной ячейки) последовательно чередуются комплектные и частично дефектные плоскости. Все узлы комплектных плоскостей заняты атомами углерода, а в дефектных плоскостях часть узлов вакантна. Чередование комплектных и дефектных неметаллических атомных плоскостей  $(1\bar{1}1)_{B1}$  в упорядоченных структурах типа  $M_6C_5$  обусловлено наличием луча  $\mathbf{k}_9^{(3)}$  звезды  $\{\mathbf{k}_9\}$  в каналах соответствующих фазовых переходов беспорядок–порядок [14]. Звезда  $\{\mathbf{k}_9\}$  обеспечивает соразмерность всех трех структур, поскольку соответствующее ей межплоскостное расстояние совпадает с одним из межплоскостных расстояний базисной кубической структуры  $B1$ .

Сателлиты, на которые расщепляются отражения, соответствующие звезде  $\{\mathbf{k}_9\}$ , могут относиться к звезде  $\{\mathbf{k}_5\}$ . Лучи звезды  $\{\mathbf{k}_5\}$  коллинеарны лучам звезды  $\{\mathbf{k}_9\}$ , но не достигают границы первой зоны Бриллюэна. Их длина определяется параметром  $0 < \mu_5 < 1/2$  (рис.2). В общем случае положение лучей  $\mathbf{k}_5^{(j)}$  может непрерывно меняться от нуля обратного пространства (центр зоны Бриллюэна) до точек  $L = (1/2, 1/2, 1/2)$  на границе первой зоны Бриллюэна, которым соответствуют лучи звезды  $\{\mathbf{k}_9\}$ . Присутствие в канале перехода лучей звезды  $\{\mathbf{k}_5\}$  фактически означает несоразмерность сверхструктуры карбива тантала.

Численное значение параметра  $\mu_5$  можно найти из экспериментальных нейтронографических спектров (рис.1). Луч  $\mathbf{k}_9^{(3)} = \mathbf{b}_2$  коллинеарен лучу  $\mathbf{k}_5^{(6)} = \mu_5 \mathbf{b}_2 = \{\mu_5, -\mu_5, \mu_5\}$ , где  $\mathbf{b}_2 = \{1, -1, 1\}$ . Кроме то-

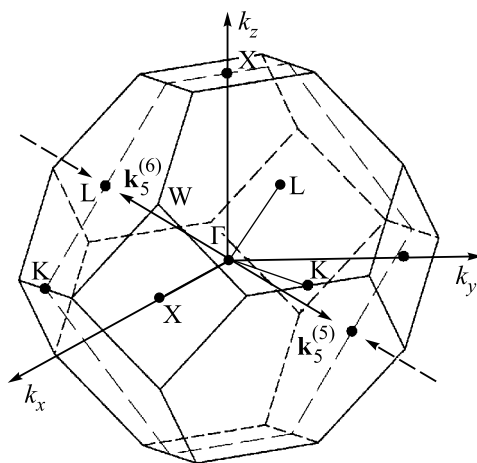


Рис.2. Положение сверхструктурных векторов  $\mathbf{k}_5^{(6)}$  и  $-\mathbf{k}_5^{(6)} \equiv \mathbf{k}_5^{(5)}$  в сечении (110) первой зоны Бриллюэна ГЦК решетки (сечение (110) изображено штриховыми линиями). Сверхструктурные векторы, показанные штрихом, создаются узлами обратной решетки, ближайшими к узлу  $\Gamma = (0, 0, 0)$ . Наличие двух несоразмерных сверхструктурных векторов  $\mathbf{k}_5^{(j)}$  с  $\mu_5 \approx 0.473$  вблизи точки  $L = (1/2, -1/2, 1/2)$ , соответствующей соразмерному вектору  $\mathbf{k}_5^{(3)}$ , приводит к появлению в дифракционных спектрах поликристаллических образцов двух близких сверхструктурных отражений при  $2\theta \approx 18.0$  и  $20.5^\circ$ .

го, в первой зоне Бриллюэна имеется обратный сверхструктурный вектор  $-\mathbf{k}_5^{(6)} = \mathbf{k}_5^{(5)}$ . Вектор  $\mathbf{k}_5^{(5)}$  не эквивалентен вектору  $\mathbf{k}_5^{(6)}$  и поэтому входит в канал фазового перехода наряду с вектором  $\mathbf{k}_5^{(6)}$ . Сверхструктурные дифракционные векторы  $\mathbf{q}_{i,5}$ , связанные со звездой  $\{\mathbf{k}_5\}$ , с одной стороны, и порождаемые структурными узлами  $\mathbf{H}_i$ , с другой стороны, равны  $(\mathbf{H}_i + \mathbf{k}_5^{(j)})$ , где  $\mathbf{k}_5^{(j)}$  – векторы звезды  $\{\mathbf{k}_5\}$ , входящие в канал перехода. С учетом этого  $\mathbf{q}_{i,5} = (\mathbf{H}_i \pm \mathbf{k}_5^{(6)})$ . Первый сверхструктурный вектор, порожденный узлом  $(0, 0, 0)$ , совпадает с волновым вектором  $\mathbf{k}_5^{(6)}$  и по модулю равен  $|\mathbf{q}_{1,5}| = |\mathbf{k}_5^{(6)}| = \mu_5 \sqrt{3}$ . Длину дифракционного вектора можно представить как  $\mathbf{q}_{i,5} = (2a_{B1} \sin \theta_{i,5})/\lambda$ , поэтому

$$\mu_5 = (2a_{B1} \sin \theta_{1,5})/\sqrt{3}\lambda. \quad (1)$$

Сверхструктурный вектор длиной  $|\mathbf{k}_5^{(6)}|$  для упорядоченного карбива  $\text{TaC}_{0.83}(c)$  наблюдается при угле дифракции  $2\theta_{1,5} \approx 18.0 - 18.06^\circ$ . Для этого угла расчет дает  $\mu_5 \approx 0.472 - 0.474$ . С учетом всех сверхструктурных векторов, связанных со звездой  $\{\mathbf{k}_5\}$ , средняя величина параметра  $\mu_5$  равна 0.473. Аналогичные расчеты показали, что в пределах точности дифракционного эксперимента для упорядоченных кар-

бидов  $TaC_y$  с другим содержанием углерода  $\mu_5$  имеет такую же величину, то есть в первом приближении  $\mu_5 \approx 0.473$  независимо от состава  $TaC_y$ . Таким образом, канал перехода беспорядок–порядок, связанный с образованием в  $TaC_y$  несоразмерной упорядоченной фазы, включает лучи  $\mathbf{k}_5^{(6)} \approx 0.473\mathbf{b}_2$  и  $\mathbf{k}_5^{(5)} = -\mathbf{k}_5^{(6)}$  звезды  $\{\mathbf{k}_5\}$  (рис.2), а также лучи звезд  $\{\mathbf{k}_4\}$  и  $\{\mathbf{k}_3\}$ .

Из выполненного симметрийного анализа ясно, что сверхструктура карбида тантала отличается от известных сверхструктур  $M_6C_5$  (пр. гр.  $C2/m$  и  $P3_1$ ), которые образуются по каналам переходов беспорядок–порядок, включающим лучи звезд  $\{\mathbf{k}_9\}$ ,  $\{\mathbf{k}_4\}$  и  $\{\mathbf{k}_3\}$ . Векторы звезды  $\{\mathbf{k}_9\}$  обеспечивают соразмерность этих сверхструктур и последовательное чередование комплектных и дефектных неметаллических атомных плоскостей  $(1\bar{1}1)_{B1}$ , векторы звезд  $\{\mathbf{k}_4\}$  и  $\{\mathbf{k}_3\}$  определяют взаимное расположение в дефектных плоскостях вакантных узлов и узлов, занятых атомами углерода. В канал перехода беспорядок–порядок, связанный с образованием сверхструктуры в  $TaC_y$ , вместо лучей звезды  $\{\mathbf{k}_9\}$  входят лучи звезды  $\{\mathbf{k}_5\}$  с  $\mu_5 \approx 0.473$ . При таком значении  $\mu_5$  ни одно из межплоскостных расстояний сверхструктуры карбида  $TaC_y$  не совпадает с межплоскостными расстояниями базисной кубической структуры  $B1$ . Это значит, что найденная упорядоченная фаза нестехиометрического карбида  $TaC_y$  несоразмерна в направлении  $[1\bar{1}1]_{B1}$  или в эквивалентных направлениях  $[111]_{B1}$ ,  $[\bar{1}11]_{B1}$  и  $[11\bar{1}]_{B1}$ , но по взаимному расположению атомов и вакансий в неметаллических плоскостях  $(1\bar{1}1)_{B1}$  близка к соразмерным сверхструктурам  $M_6C_5$  (пр. гр.  $C2/m$  и  $P3_1$ ).

Рассмотрим функции, которые описывают вероятность обнаружения атома углерода на узле неметаллической плоскости  $(1\bar{1}1)_{B1}$ , то есть степень заполнения  $P^{(1-11)}$  атомами углерода неметаллических плоскостей  $(1\bar{1}1)_{B1}$  в карбиде  $MC_y$  с любой степенью дальнего порядка  $\eta$ . Для соразмерных сверхструктур типа  $M_6C_5$  с учетом соответствующих им функций распределения [1, 14] степень заполнения  $P_{\text{com}}^{(1-11)}$  имеет вид

$$P_{\text{com}}^{(1-11)} = y - (\eta_9/6) \cos(2\pi\mu_9 z), \quad (2)$$

где  $z$  – порядковый номер неметаллической плоскости  $(1\bar{1}1)_{B1}$ , то есть целое число;  $\eta_9$  – параметр дальнего порядка, соответствующий звезде  $\{\mathbf{k}_9\}$ ;  $\mu_9 = 1/2$ . Из (2) ясно, что в соразмерных сверхструктурах типа  $M_6C_5$  в направлении  $[1\bar{1}1]_{B1}$  чередуются неметаллические атомные плоскости  $(1\bar{1}1)_{B1}$  с максимальной,  $P_{\text{max}}^{(1-11)}$ , и минимальной,  $P_{\text{min}}^{(1-11)}$ , степенями заполнения. Для несоразмерной упорядоченной

структурь, близкой к типу  $M_6C_5$ , степень заполнения атомами С неметаллических плоскостей  $(1\bar{1}1)_{B1}$  в карбиде  $MC_y$  имеет аналогичный вид

$$P_{\text{inc}}^{(1-11)} = y - (\eta_5/6) \cos(2\pi\mu_5 z). \quad (3)$$

Заметим, что функции (2) и (3) имеют физический смысл только на плоскостях  $(1\bar{1}1)_{B1}$ . Из них следует, что максимальная и минимальная степени заполнения неметаллических плоскостей  $(1\bar{1}1)_{B1}$  атомами углерода равны  $P_{\text{max}}^{(1-11)} = y + \eta/6$  и  $P_{\text{min}}^{(1-11)} = y - \eta/6$ , где  $\eta$  равно  $\eta_9$  или  $\eta_5$  для соразмерной и несоразмерной сверхструктур соответственно.

В несоразмерной сверхструктуре максимумы и минимумы функции  $P^{(1-11)}$  не совпадают с неметаллическими плоскостями  $(1\bar{1}1)_{B1}$ , и потому степень заполнения атомами углерода этих плоскостей является промежуточной между  $P_{\text{max}}^{(1-11)}$  и  $P_{\text{min}}^{(1-11)}$ . Иначе говоря, концентрационная волна, соответствующая звезде  $\{\mathbf{k}_5\}$ , имеет максимумы и минимумы, которые не совпадают с неметаллическими плоскостями  $(1\bar{1}1)_{B1}$ . Если в соразмерной сверхструктуре типа  $M_6C_5$  неметаллические плоскости  $(1\bar{1}1)_{B1}$  с максимальной степенью заполнения атомами С встречаются через одну, то в несоразмерном карбиде тантала примерно каждая 18-я неметаллическая плоскость  $(1\bar{1}1)_{B1}$  имеет максимум заполнения атомами углерода (18-я, 37-я, 54-я, 73-я и т.д.). Таким образом, в несоразмерном упорядоченном карбиде тантала период трансляции в направлении  $[1\bar{1}1]_{B1}$  увеличивается примерно в 18 раз, от  $(2\sqrt{3})a_{B1}/3 = 0.5112$  нм в соразмерной фазе  $M_6C_5$  до 8.9–9.1 нм в несоразмерной фазе. Величина периода трансляции зависит от состава карбида тантала и условий термообработки.

Несовпадение максимумов и минимумов концентрационной волны с плоскостями  $(1\bar{1}1)_{B1}$  неметаллической подрешетки означает, что вероятности заполнения углеродных и вакансационных позиций в несоразмерном упорядоченном карбиде  $Ta_6C_5$  ( $TaC_{0.83}$ ) заметно отличаются от 1 и 0, соответственно. Как следствие, степени дальнего и ближнего порядков в упорядоченном карбиде тантала далеки от максимально возможных значений.

При одинаковых значениях параметров дальнего порядка  $\eta_9 = \eta_5 = \eta$  разность между степенями заполнения неметаллических плоскостей  $(1\bar{1}1)_{B1}$  в несоразмерной и соразмерной сверхструктурах равна

$$\begin{aligned} P_{\text{inc}}^{(1-11)} - P_{\text{com}}^{(1-11)} &= \\ &= -(\eta/3) \sin[\pi z(\mu_9 + \mu_5)] \sin[\pi z(\mu_9 - \mu_5)]. \end{aligned} \quad (4)$$

Оценим, в какой по счету плоскости  $(1\bar{1}1)_{B1}$  неметаллической подрешетки вероятности  $P_{\text{inc}}^{(1-11)}$  и

$P_{\text{com}}^{(1-11)}$  будут одинаковы. В этом случае  $P_{\text{inc}}^{(1-11)} - P_{\text{com}}^{(1-11)} = 0$ ; с учетом численных значений  $\mu_9$  и  $\mu_5$  из (4) следует, что  $z \approx 37m$ , где  $m$  есть целое число  $(0, 1, 2 \dots)$ . Таким образом, степени заполнения атомами углерода неметаллических плоскостей  $(1\bar{1}1)_{B1}$  в несоразмерной и соразмерной сверхструктурах типа  $\text{M}_6\text{C}_5$  совпадают на каждой 37-й плоскости.

Казалось бы, возможно другое объяснение распределения атомов углерода и вакансий в упорядоченном карбиде тантала. Упорядоченную структуру нестехиометрического карбида  $\text{TaC}_y$  можно представить как последовательности  $[(\text{CD})_n\text{C}]_\infty$  или  $[(\text{CD})_n\text{D}]_\infty$  чередующихся комплектных С и упорядоченных дефектных D неметаллических плоскостей  $(1\bar{1}1)_{B1}$ , то есть как длинно-периодическую структуру. Но для длинно-периодической структуры  $[(\text{CD})_n\text{C}]_\infty$  или  $[(\text{CD})_n\text{D}]_\infty$  параметр  $\mu_5$  должен зависеть от состава карбида  $\text{TaC}_y$ , а в данной работе в пределах точности дифракционного эксперимента такой зависимости нет.

Несоразмерность структуры означает также отсутствие точного стехиометрического состава упорядоченной фазы. Этим, в частности, объясняется слабая зависимость интенсивности сверхструктурных отражений от состава карбида тантала  $\text{TaC}_y$  (см. рис.1).

Обнаружение во всей области гомогенности карбида  $\text{TaC}_y$  только одной упорядоченной фазы согласуется с расчетом [7] фазовой диаграммы системы Та–С, из которого следует, что в карбиде  $\text{TaC}_y$  возможно образование только одной сверхструктуры. Согласно [7] при  $T = 300\text{--}800\text{ K}$  эта сверхструктура имеет область гомогенности  $\text{TaC}_{0.81\text{--}0.83} - \text{TaC}_{0.89\text{--}0.92}$ . Экспериментально образование несоразмерной сверхструктуры наблюдается в области составов от  $\text{TaC}_{0.79}$  до  $\text{TaC}_{0.89}$ , что соответствует полученной в [7] оценке положения и ширины области гомогенности упорядоченной фазы карбида тантала.

Таким образом, в результате проведенного исследования установлено, что во всей области гомогенности  $\text{TaC}_{0.71}\text{--}\text{TaC}_{1.00}$  неупорядоченного карбида тантала образуется только одна упорядоченная фа-

за. Эта фаза несоразмерна в направлении  $[1\bar{1}1]_{B1}$ , но по расположению атомов углерода С и вакансий  $\square$  в неметаллических плоскостях  $(1\bar{1}1)_{B1}$  близка к сверхструктурам типа  $\text{M}_6\text{C}_5$ . В других нестехиометрических карбидах или нитридах до сих пор обнаруживали только соразмерные сверхструктуры.

Авторы признательны А. И. Гусеву за полезную дискуссию. Работа выполнена при поддержке Российской фонда фундаментальных исследований (грант # 03-03-32031а).

1. A. I. Gusev, A. A. Rempel, and A. A. Magerl, *Disorder and Order in Strongly Non-stoichiometric Compounds. Transition Metal Carbides, Nitrides and Oxides*, Berlin – Heidelberg – New York – London, Springer, 2001.
2. А. И. Гусев, А. А. Ремпель, *Нестехиометрия, беспорядок и порядок в твердом теле*, Екатеринбург, УрО РАН, 2001.
3. В. Н. Липатников, А. А. Ремпель, А. И. Гусев. Изв. АН СССР. Неорган. материалы **26**, 2522 (1990).
4. A. I. Gusev, A. A. Rempel, and V. N. Lipatnikov, Phys. Stat. Sol. (a)**106**, 459 (1988).
5. В. Н. Липатников, А. А. Ремпель, А. И. Гусев, ФТТ **31**, 285 (1989).
6. J. D. Venables and M. H. Meyerhoff, In: *Solid State Chemistry. Proc. of 5<sup>th</sup> Intern. Mater. Res. Symp.*, (NBS Special Publ. 364), Berkley California, NBS Publ., 1972, p. 583.
7. А. И. Гусев, УФН **170**, 3 (2000).
8. R. Lorenzelli and I. de Dieuleveult, J. Nucl. Mater. **29**, 349 (1969).
9. V. Moisy-Maurice, N. Lorenzelli, C. H. de Novion, and P. Convert, Acta Metall. **30**, 1769 (1982).
10. S. Tsurekawa and H. Yoshihaga, J. Japan. Inst. Metals **56**, 133 (1992).
11. А. Н. Емельянов, ТВТ **28**, 269 (1990).
12. T. Athanassiadis, N. Lorenzelli, and C. H. de Novion. Ann. Chum. France **12**, 129 (1987).
13. О. В. Ковалев, *Неприводимые представления пространственных групп*, Киев, Изд-во АН УССР, 1961.
14. A. I. Gusev and A. A. Rempel, J. Phys. C: Solid State Phys. **20**, 5011 (1987).